

УДК 535.375:546.863.31

## ИССЛЕДОВАНИЕ ОКСИДА СУРЬМЫ(III) МЕТОДАМИ КОЛЕБАТЕЛЬНОЙ СПЕКТРОСКОПИИ И КВАНТОВОЙ ХИМИИ

© 2009 Е.И. Войт\*, А.Е. Панасенко, Л.А. Земнухова

Институт химии ДВО РАН, Владивосток

Статья поступила 16 апреля 2008 г.

Методами ИК и КР спектроскопии исследованы кубическая и орторомбическая модификации  $Sb_2O_3$ . В приближении теории функционала плотности проведен расчет колебательных спектров, выполнено соотнесение полос. На основании сделанных соотнесений проведен анализ колебательных спектров соединения  $\alpha\text{-}Sb_3O_2F_5$ .

**Ключевые слова:** оксид сурьмы(III), DFT, ИК, КР, колебательная спектроскопия.

### ВВЕДЕНИЕ

Оксид сурьмы(III) в настоящее время используется при изготовлении красок, полимеров, резинотехнических изделий, стекол и эмалей как стойкий белый пигмент, УФ-фильтр, для увеличения термо- и огнестойкости, светорассеяния материалов, придания им проводимости, а также в производстве катализаторов, сорбентов и медицинских препаратов [1–4]. Возможность применения  $Sb_2O_3$  в ряде случаев определяется структурой вещества. Существуют две кристаллические модификации оксида сурьмы(III): низкотемпературная кубическая  $\alpha$ -модификация — сенармонтит и высокотемпературная орторомбическая  $\beta$ -модификация — валентинит [5, 6]. Различия в их строении обусловливают разницу в физико-химических свойствах.

В настоящее время известно несколько способов синтеза оксида  $Sb_2O_3$  [7–9], включающих гидролиз различных соединений сурьмы(III), причем от условий получения зависит фазовый состав продукта. При этом закономерности образования кубической или орторомбической формы оксида сурьмы(III) в процессе гидролиза изучены недостаточно. Выпускаемый промышленностью в настоящее время оксид сурьмы(III) практически не стандартизуется по фазовому составу.

Для контроля состава и качества синтезируемых соединений сурьмы(III) наряду с другими физико-химическими методами исследования часто используется колебательная спектроскопия, позволяющая судить о структуре соединения. Детальный анализ колебательных спектров отсутствует для большинства кислородсодержащих соединений сурьмы(III), включая  $Sb_2O_3$ , за исключением отдельных попыток соотнесения полос в спектре [10–14]. В настоящей работе представлен теоретический расчет колебательных спектров оксида сурьмы(III), выполнено соотнесение полос и проведено сравнение их с экспериментальными ИК и КР спектрами. Проведен анализ колебательных спектров оксофторида сурьмы(III)  $Sb_3O_2F_5$ .

### МЕТОДИКА ЭКСПЕРИМЕНТА

Для записи колебательных спектров был использован оксид сурьмы(III) кубической модификации производства Merck, (х.ч.) и  $Sb_2O_3$  орторомбической модификации, синтезированный нами путем гидролиза хлорида сурьмы(III) (ос.ч.) в растворе борной кислоты.

\* E-mail: evoit@ich.dvo.ru

Оксофтторид сурьмы(III) был получен путем гидролиза фторида сурьмы(III) (ч.) в растворе уксусной кислоты. Методами химического и рентгенофазового анализа продукт синтеза идентифицирован как  $\alpha\text{-Sb}_3\text{O}_2\text{F}_5$  [15].

ИК спектры образцов в области 250—4000  $\text{cm}^{-1}$  регистрировали в вазелиновом масле при комнатной температуре с использованием Фурье-спектрометра Shimadzu FTIR Prestige-21 с разрешением 2  $\text{cm}^{-1}$ . Низкочастотная область до 150  $\text{cm}^{-1}$  записана на приборе Vertex 70. Спектры КР  $\alpha\text{-Sb}_2\text{O}_3$  и  $\alpha\text{-Sb}_3\text{O}_2\text{F}_5$  получены с разрешением 2  $\text{cm}^{-1}$  в обратном рассеянии на спектрометре RFS100/S (лазер Nd: YAG,  $\lambda = 1064 \text{ нм}, 100 \text{ мВт}$ ). Спектр КР  $\beta\text{-Sb}_2\text{O}_3$  записан на спектрометре TRIVista с рассеянием под углом 90° (лазер Ar: Spectra Physics,  $\lambda = 488 \text{ нм}$ ).

Квантово-химическое моделирование оксида сурьмы(III) кубической и орторомбической модификаций проведено с использованием комплекса GAMESS [16] на уровне теории функционала плотности с использованием обменно-корреляционного потенциала B3LYP. В качестве базиса для всех атомов взят валентный базис SBKJC [17] в сочетании с псевдорелятивистским основным потенциалом, дополненный диффузной  $d$ -функцией для атомов кислорода. Все расчеты выполнены на 16-процессорном Linux-клUSTERе Института химии ДВО РАН.

## ОБСУЖДЕНИЕ РЕЗУЛЬТАТОВ

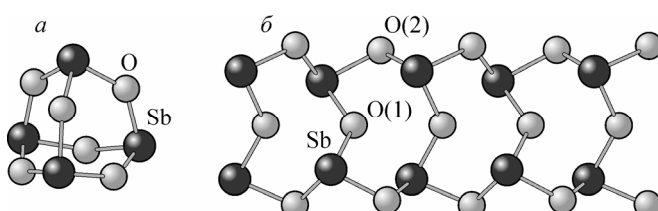
Структуры кубической и орторомбической модификаций оксида сурьмы(III) изучены методами рентгеноструктурного анализа [5, 6]. Структура кубической модификации описывается молекулярными единицами  $\text{Sb}_4\text{O}_6$ , в которых все атомы кислорода занимают мостиковые положения и находятся в вершинах октаэдра, а атомы сурьмы расположены снаружи от четырех его граней. В орторомбической модификации структура построена из бесконечных двойных цепей, образованных координационными тетраэдрами, связанными мостиковыми атомами кислорода. На рис. 1 приведены модельные кластеры для двух модификаций, использованные в расчетах.

Расчет колебательных спектров  $\alpha\text{-Sb}_2\text{O}_3$  проведен с применением кластера  $[\text{Sb}_4\text{O}_6]$  с симметрией  $T_d$  (см. рис. 1, *a*), который является основным фрагментом кристаллической структуры исследуемого вещества [6]. Проведена полная оптимизация геометрических параметров. Расчитанное оптимальное расстояние Sb—O составляет 1,953 Å (по рентгеноструктурным данным — 1,977 Å). Экспериментальные и рассчитанные ИК и КР спектры  $\alpha\text{-Sb}_2\text{O}_3$  представлены на рис. 2 и в табл. 1. Наблюдается хорошее соответствие экспериментальных и рассчитанных данных.

Высокая тетраэдрическая симметрия выбранного кластера приводит к небольшому количеству полос в колебательных спектрах. Интенсивная полоса в ИК спектре в области 741  $\text{cm}^{-1}$  (теоретическая — 765  $\text{cm}^{-1}$ ) отвечает за симметричные комбинации валентных  $\nu_{\text{asym}}$  ( $\text{SbO}$ ) колебаний. Ниже 460—360  $\text{cm}^{-1}$  находятся полосы, отвечающие за колебания, связанные с изгибом связей Sb—O—Sb. Эти колебания направлены к центру симметрии тетраэдрического кластера, их тоже можно считать валентными  $\nu_{\text{sym}}$  ( $\text{SbO}$ ), так как они приводят к значительному (0,09—0,03 Å) изменению расстояния Sb—O. Самая интенсивная в ИК спектре деформационная полоса в области 260  $\text{cm}^{-1}$  (теоретически — 280  $\text{cm}^{-1}$ ) имеет симметрию  $A_1$ . Ниже лежат комбинации веерных и крутильных деформационных колебаний (см. табл. 1).

Расчет колебательных спектров  $\beta\text{-Sb}_2\text{O}_3$  проведен с использованием кластера  $[\text{Sb}_{10}\text{O}_{15}]$  симметрии  $C_2$  (см. рис. 1, *б*), который является основным фрагментом структуры вещества [5]. Полная оптимизация геометрических параметров кластера не привела к правдоподобной

Рис. 1. Модельные кластеры:  $[\text{Sb}_4\text{O}_6]$  для  $\alpha\text{-Sb}_2\text{O}_3$  (*а*) и  $[\text{Sb}_{10}\text{O}_{15}]$  для  $\beta\text{-Sb}_2\text{O}_3$  (*б*)



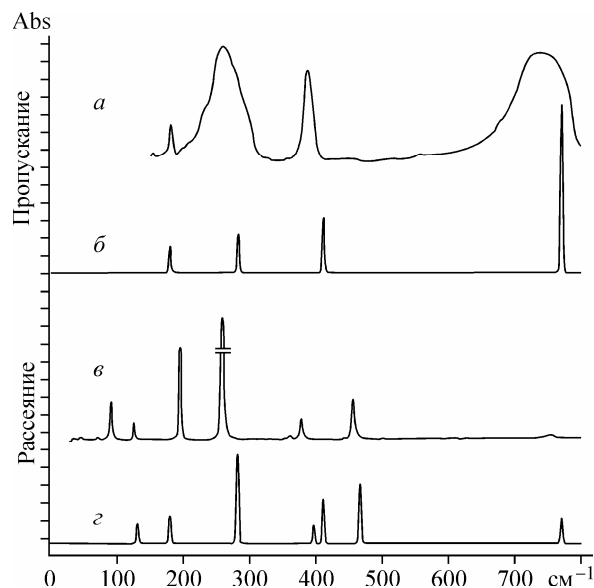


Рис. 2. Экспериментальные (*α* — ИК, *γ* — КР) спектры  $\alpha$ -Sb<sub>2</sub>O<sub>3</sub>; теоретические (*β* — ИК, *δ* — КР) спектры кластера [Sb<sub>4</sub>O<sub>6</sub>] ( $T_d$ )

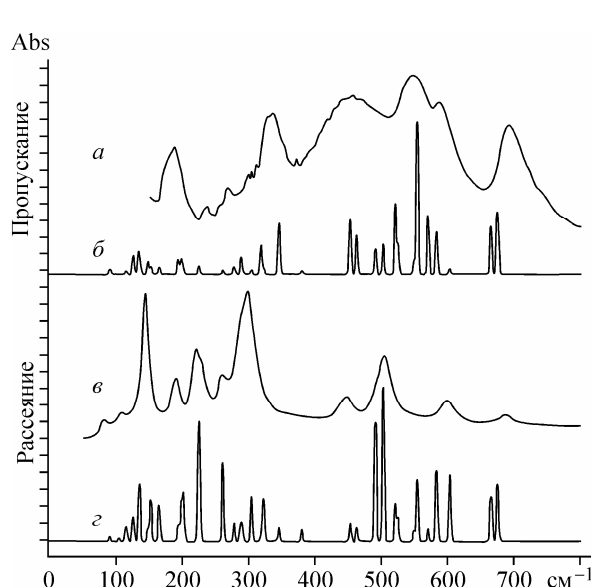


Рис. 3. Экспериментальные (*α* — ИК, *γ* — КР) спектры  $\beta$ -Sb<sub>2</sub>O<sub>3</sub>; теоретические (*β* — ИК, *δ* — КР) спектры кластера [Sb<sub>10</sub>O<sub>15</sub>] ( $C_2$ )

геометрии из-за возможности реализации в структуре оксидов сурьмы большого разнообразия устойчивых конфигураций [18]. При фиксированных атомах на краях цепи (см. рис. 1, *б*) рассчитанные оптимальные расстояния Sb—O(2) по сравнению с кристаллографическими получены с небольшим отклонением (1,89, 2,11 Å), а расстояния Sb—O(1) сильно завышены (2,15 Å). Поэтому расчет колебательного спектра проведен с кристаллографическими геометрическими параметрами (расстояния Sb—O(1) 2,024 Å, Sb—O(2) 1,984 и 2,024 Å) и зафиксированными атомами на краях цепи. При этом в рассчитанных спектрах обнаружена одна мнимая частота 47 cm⁻¹, связанная с решеточными колебаниями, по направлению совпадающими с изгибом цепи. Рассчитанные частоты и выполненные соотнесения полос в ИК и КР спектрах представлены в табл. 2.

Разные краевые условия звеньев цепи привели к увеличению количества частот, отвечающих похожим участкам. В табл. 2 выделены группы аналогичных колебаний. На рис. 3 показаны экспериментальные и расчетные спектры  $\beta$ -Sb<sub>2</sub>O<sub>3</sub>.

Согласно расчетам, область от 750 до 300 cm⁻¹ можно условно считать областью валентных колебаний, в которой лежат колебания, происходящие в плоскости цепи (см. рис. 1, *б*) и приводящие к значительному изменению расстояний Sb—O. Ниже 300 cm⁻¹ лежат деформационные колебания связей Sb—O, направленные под углом к рассматриваемой плоскости цепи (см. рис. 1, *б*).

Интенсивная широкая полоса в экспериментальном ИК спектре  $\alpha$ -Sb<sub>2</sub>O<sub>3</sub> 741 cm⁻¹ (см. рис. 2, *α*) в спектре  $\beta$ -Sb<sub>2</sub>O<sub>3</sub> (см. рис. 3, *α*) расщепляется на два дублета 720 (плечо), 688 cm⁻¹ и 589, 540 cm⁻¹, соответствующих симметричным и асимметричным комбинациям  $v_{\text{asym}}$ . Каждому из дублетов соответствуют колебания с участием определенного сорта мостиковых атомов кислорода O(1) и O(2) (см. рис. 1, табл. 2).

В экспериментальном ИК спектре  $\alpha$ -Sb<sub>2</sub>O<sub>3</sub> за асимметричные комбинации валентных колебаний  $v_{\text{sym}}(\text{SbOSb})$  отвечает вторая интенсивная узкая полоса 385 cm⁻¹ ( $T_2$ ), в КР этим колебаниям соответствуют полосы в области 460 cm⁻¹ ( $A_1$ ) и 367 cm⁻¹ ( $E$ ). В ИК спектре орторомбической формы оксида сурьмы(III) видно уже две полосы: широкая 500—400 cm⁻¹ и 333—326 cm⁻¹, соответствующие симметричным и асимметричным комбинациям валентных  $v_{\text{sym}}$  с участием O(1) и O(2) соответственно. Согласно расчетам, упоминаемая в [14] полоса средней интенсивности в ИК спектре  $\alpha$ -Sb<sub>2</sub>O<sub>3</sub> при 960 cm⁻¹ не имеет отношения к идеальной структуре этого ве-

Т а б л и ц а 1

Экспериментальные ИК и КР спектры  $\alpha\text{-Sb}_2\text{O}_3$  и рассчитанные частоты для кластера  $[\text{Sb}_4\text{O}_6]$  ( $T_d$ ) с соотнесением полос

Эксперимент		DFT/B3LYP/SBKJS+d				Соотнесение	$\nu, \text{см}^{-1}$ [ 10—14 ]		
ИК	КР	$\nu, \text{см}^{-1}$	Симметрия	Инт-ть*					
				ИК	КР				
741	—	765	$T_2$	11,9	1,7	$\nu_{\text{sym}} (\text{SbO}_3)$ sym comb $\nu_{\text{asym}}$ (Sb→O→Sb)	740—717		
537	—	574	$T_1$	0	0	$\nu_{\text{asym}} (\text{SbO}_3)$ asim comb $\nu_{\text{asym}}$ (Sb→O→Sb)	590—550		
460	460	465	$A_1$	0	90,0	$\nu_{\text{sym}} (\text{SbO}_3)$ sym comb $\nu_{\text{sym}}$ (Sb→O←Sb)	458—452		
385	383	409	$T_2$	1,5	6,2	$\nu_{\text{sym}} (\text{SbO}_3)$ asym comb $\nu_{\text{sym}}$ (Sb→O←Sb)	381—375		
—	367	394	$E$	0	2,0	$\nu_{\text{asym}} (\text{SbO}_3)$ sym comb $\nu_{\text{sym}}$ (Sb→O←Sb)	364—359		
280	—	282	$T_2$	0,6	0,1	$\delta_{\text{sym}} (\text{SbO}_2)$ sym comb $\delta_{\text{sym}}$ (Sb→O←Sb)	—		
260	263	280	$A_1$	0	254,0	$\delta_{\text{sym}} (\text{SbO}_3)$ sym comb $\delta_{\text{sym}}$ (O→Sb←O)	261—256		
179	198	179	$T_2$	0,4	2,8	$\delta_{\text{asym}} (\text{SbO}_3)$ asym comb $\delta_{\text{sym}}$ (Sb→O←Sb)	197—192		
—	127	126	$E$	0	2,4	$\delta_{\text{asym}} (\text{SbO}_3)$ sym comb $\delta_{\text{sym}}$ (Sb→O←Sb)	124—121		
—	92	109	$T_1$	0	0	$\delta_{\text{asym}} (\text{SbO}_2)$ asym comb $\delta_{\text{asym}}$ (Sb→O←Sb)	87—84		

\* Интенсивность рассчитанных полос в ИК спектрах измеряется в  $\text{D}^2/\mu\text{A}^2$ , в спектрах КР — в  $\text{A}^4/\mu$ .

щества. По нашим данным полоса при  $960 \text{ см}^{-1}$  не проявляется в спектре кубической модификации оксида сурьмы(III) при съемке на стекле KRs.

Область деформационных колебаний  $\alpha\text{-Sb}_2\text{O}_3$  в экспериментальном ИК спектре начинается с широкой полосы с максимумом в области  $260 \text{ см}^{-1}$ . В КР спектре  $\alpha\text{-Sb}_2\text{O}_3$  эта полоса имеет

Таблица 2

Экспериментальные частоты в колебательных спектрах  $\beta\text{-Sb}_2\text{O}_3$  и основные рассчитанные частоты кластера  $[\text{Sb}_{10}\text{O}_{15}] (C_2)$ , их соотнесение

Эксперимент		DFT /B3LYP/ SBKJC+d				Соотнесение		$\nu, \text{см}^{-1} [10-14]$	
ИК	КР	$\nu, \text{см}^{-1}$	Симм.	Инт-ть		ИК	КР	ИК	КР
720		672	B	2,2	5041	sym и asym comb $\nu_{\text{asym}} (\text{Sb} \rightarrow \text{O}(1) \rightarrow \text{Sb})$		740	
688	686	663	B	1,2	2905			—	690
589	598	600 581 552	A A A	0 0,9 10,4	6668 24300 14776	sym и asym comb $\nu_{\text{asym}} (\text{Sb} \rightarrow \text{O}(2) \rightarrow \text{Sb})$		585	602
540	—	567 547 523 501	B B B B	1,7 0,1 0,4 2,7	248 188 711 2140			540	—
482	504	519 501 489	A A A	0,4 2,7 0,1	115039 2140 23870	sym и asym comb $\nu_{\text{sym}} (\text{Sb} \rightarrow \text{O}(2) \leftarrow \text{Sb})$		488	502
457 428	447	460 450	B B	0,7 1,4	250 405			455	449
—	—	379	B	0	248	sym и asym comb $\nu_{\text{sym}} (\text{Sb} \rightarrow \text{O}(1) \leftarrow \text{Sb})$		—	—
333 326	—	344 311	A A	1,2 0,51	250			—	—
—	299	316 302 288	B B B	0,33 0,01 0,04	40 1534 256	sym и asym comb $\delta\text{SbO}_2$ $\delta(\text{O}(2) \text{ Sb O} (1))$ $\text{Sb} - \text{O}(2) = (1,894)$	Ножничные	294	
—	263	286 276 259	A A A	0,07 0,03 0,00	208 541 7617				
—	221	223 211	A B	0,04 0,07	21691 36	sym и asym comb $\delta\text{SbO}_2$ $\delta(\text{O}(2) \text{ Sb O}(2))$ $\text{Sb} - \text{O}(2) = (1,894, 2,024)$			
188	190	201 200 197 192	B A B B	0 0,01 0,25 0,11	65 2051 201 411	sym и asym comb $\delta\text{SbO}_2$ $(\text{O}(2) \text{ Sb O}(1))$ $\text{Sb} - \text{O}(2) = (2,024)$	Веерные	223	
—	145 110 82	163 151 146 135 133 124 114 89 84	A A B A B A B B A	0,21 0,17 0,20 0,02 0,05 0,52 0,02 0,02 0,04	1800 2842 234 92 4681 300 50 43 12469				
—						sym и asym comb ( $\text{SbO}_3$ — $\text{SbO}_3$ )	Решеточные колебания	140 103 71	

Рис. 4. Экспериментальные (*а* — ИК, *б* — КР) спектры оксофторида сурьмы(III)  $\text{Sb}_3\text{O}_2\text{F}_5$

наибольшую интенсивность и отвечает полносимметричному колебанию симметрии  $A_1$ . Согласно расчетам, в ИК спектре в ее плече скрывается полоса ( $280 \text{ cm}^{-1}$ )  $\delta_{\text{sym}}$  ( $\text{SbOSb}$ ), отвечающая за колебания, поперечные к направлению связи  $\text{Sb—O}$ . Деформационная область в спектре  $\beta\text{-Sb}_2\text{O}_3$  начинается с широкой полосы в области  $\sim 300 \text{ cm}^{-1}$ . Большинство деформационных полос  $\beta\text{-Sb}_2\text{O}_3$  имеют значительную полуширину и меньшую, чем у  $\alpha\text{-Sb}_2\text{O}_3$ , интенсивность вследствие более низкой симметрии решетки ( $C_2$ ). Ниже  $165 \text{ cm}^{-1}$  в спектре  $\beta\text{-Sb}_2\text{O}_3$  лежат решеточные колебания, при которых группировки  $[\text{SbO}_3]^{3-}$  совершают колебательные движения без изменения длин связей и собственных углов  $\text{OSbO}$ . При решеточных колебаниях происходят групповые движения группировок  $[\text{SbO}_3]^{3-}$  в трех направлениях, изменяются лишь внешние углы  $\text{SbOSb}$ .

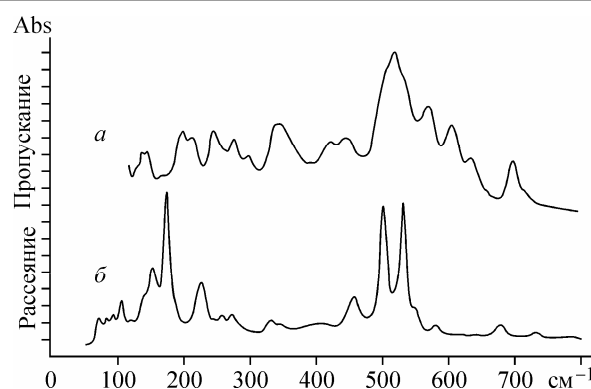
На рис. 4 представлены ИК и КР спектры  $\alpha$ -модификации оксофторида сурьмы(III)  $\text{Sb}_3\text{O}_2\text{F}_5$ . Основу его структуры составляют полиэдры сурьмы четырех видов:  $\text{Sb}(1)\text{F}_4\text{E}$ ,  $\text{Sb}(2)\text{F}_3\text{OE}$ ,  $\text{Sb}(3)\text{O}_4\text{E}$ ,  $\text{Sb}(4)\text{O}_4\text{E}$  (E — неподеленная электронная пара) [15]. Из колебательных спектров  $\alpha\text{-Sb}_3\text{O}_2\text{F}_5$  и вышеупомянутого соотнесения частот для  $\text{Sb}_2\text{O}_3$  видно, что все атомы кислорода в структуре оксофторида мостиковые, так как в ИК спектре полоса в области  $700 \text{ cm}^{-1}$  по положению и форме совпадает с таковой для  $\beta\text{-Sb}_2\text{O}_3$ . Наличие интенсивных дополнительных полос в области  $630\text{--}520 \text{ cm}^{-1}$  свидетельствует о присутствии большого количества концевых атомов фтора [19, 20]. Присутствие наиболее заметной полосы в КР спектре в области  $220 \text{ cm}^{-1}$  соответствует угловым симметричным деформациям более координационно насыщенного полиэдра, чем в структуре оксидов. Усложнение полос в ИК спектре в деформационной области свидетельствует о понижении общей симметрии решетки по сравнению с решеткой валентинита и усложнении общего мотива его строения, что согласуется с данными рентгеноструктурного анализа.

## ВЫВОДЫ

На основании квантово-химических расчетов проведено соотнесение полос в экспериментальных спектрах кубической и орторомбической модификаций оксида сурьмы(III). Анализ колебательных спектров дает возможность однозначно различить фазы соединения  $\text{Sb}_2\text{O}_3$  и позволяет планировать и контролировать синтез кислородсодержащих соединений сурьмы(III) с определенными структурными свойствами. Результаты настоящей работы позволяют проводить идентификацию некоторых полос в спектрах кислородсодержащих соединений сурьмы(III) и делать предположения об их строении.

## СПИСОК ЛИТЕРАТУРЫ

1. Pillep B., Behrens P. // J. Phys. Chem. B. – 1999. – **103**, N 44. – P. 9595 – 9603.
2. Ye C., Meng G., Zhang L. et al. // Chem. Phys. Lett. – 2002. – **363**. – P. 34 – 38.
3. Zhang Y., Li G., Zhang J. et al. // Nanotechnology. – 2004. – **15**. – P. 762 – 765.
4. Tan J., Shen L., Fu X. et al. // Dyes and Pigments. – 2004. – **61**. – P. 31 – 38.
5. Svensson Ch. // Acta Crystallogr. – 1974. – **B30**. – P. 458 – 461.
6. Svensson Ch. // Ibid. – 1975. – **B31**. – P. 2016 – 2018.
7. Химическая энциклопедия / Под ред. И.Л. Кунянца. Т. 4. – М.: Сов. энциклоп., 1988.
8. Карякин Ю.В., Ангелов И.И. Чистые химические вещества. – М.: Химия, 1974.
9. Guo L., Wu Z., Liu T. et al. // Chem. Phys. Lett. – 2000. – N 318. – P. 49 – 52.
10. Ferraro J.R. Low-Frequency Vibrations of Inorganic and Coordination Compounds. – N. Y.: Plenum Press, 1971.



11. *Guerrero-Perez M.O., Fierro J.L.G., Vicente M.A. et al.* // *J. Catal.* – 2002. – **206** – P. 339 – 348.
12. *Miller P.J., Charles A.* // *Spectrochim. Acta Part A: Molecular Spectroscopy*. – 1982 – **38**, N 5. – P. 555 – 559.
13. *Banãres M.A., Guerrero-Perez M.O., Fierro J.L.G. et al.* // *J. Mater. Chem.* – 2002. – **12**. – P. 3337 – 3342.
14. *Cody C.A., DiCarlo L., Darlington R.K.* // *Inorg. Chem.* – 1979. – **18**, N 6. – P. 1572 – 1576.
15. Удовенко А.А., Земнухова Л.А., Ковалева Е.В., Федорищева Г.А. // Координац. химия. – 2004. – **30**, № 8. – С. 1 – 8.
16. *Schmidt M.W., Baldridge K.K., Boatz J.A. et al.* // *J. Comput. Chem.* – 1993. – **14**. – P. 1347 – 1363.
17. *Stevens W.J., Basch H., Krauss M. et al.* // *Canad. J. Chem.* – 1992. – **70**. – P. 612 – 630.
18. *Kaiser B., Bernhardt T. M., Kinne M. et al.* // *J. Chem. Phys.* – 1999. – **110**, N 3. – P. 1437 – 1449.
19. Лапташ Н.М., Ковалева Е.В., Машковский А.А. и др. // Журн. структур. химии. – 2007. – **48**, № 5. – С. 907 – 913.
20. Давидович Р.Л., Кайдалова Т.А., Левчишина Т.Ф., Сергиенко В.И. Атлас инфракрасных спектров и рентгенометрических данных комплексных фторидов металлов IV и V групп. – М.: Наука, 1972.